

鳥取大学 大学院 学生員 川津 幸治
鳥取大学 工学部 正員 道上 正規
鳥取大学 工学部 正員 鈴木 幸一

1. はじめに

河床低下河川では、河床低下の防止・軽減のため河川を横断した麻固め工が設置されることがあるが、その機能を発揮するには麻固め自体が安定していなければならない。しかし、移動床上に建設を余儀なくされる河川構造物については、その周辺河床の局所洗掘の問題は避け難く、麻固めに関してはその基礎の安全性が脅かされていく事例も少くない。本研究では、麻固め直下流部の局所洗掘現象の内部機構を明らかにし洗掘過程のモデル解析を進める上で必要な洗掘形状あるいは洗掘孔内の流況特性が実験によってある程度明らかにされたのでここに報告する。

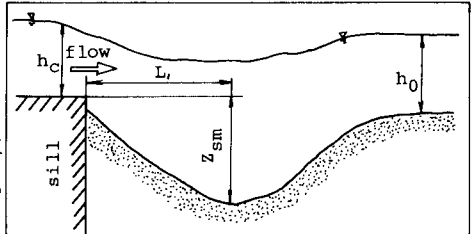


図1 記号図

2. 洗掘過程の概要

図2は限界水深 z_{sm} で無次元化した最大洗掘深 z_{sm} の時間 t による変化を両対数紙上に示したもので、 z_{sm} は各実験ごとに相違はあるが、ほぼ $\sqrt{\frac{g}{h_c}} t = 3 \times 10^4$ 程度までは徐々に洗掘進行速度は小さくなるものの単調に増加する。しかし、それ以降の z_{sm} は増加と減少を繰り返しながら、すなわち洗掘と埋め戻しを繰り返しながら全体的に大きくなっていくことがわかる。このように、洗掘深が単調に増加して洗掘が進行する状態と、埋め戻しと洗掘の繰り返しが続く状態では洗掘機構が明らかに異っており、前者を前期洗掘過程、後者を後期洗掘過程と呼び、さらに後期洗掘過程は潜り噴流による洗掘過程と埋め戻し過程と名付ける。なお、最大洗掘深については、図2から通水初期のデータを除けば、後期の間歇的な洗掘現象をも含めて、巨視的には、

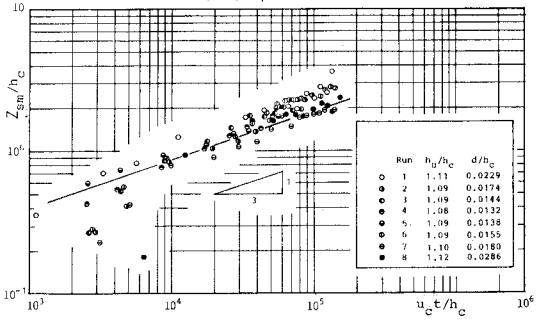


図2 最大洗掘深の時間的変化

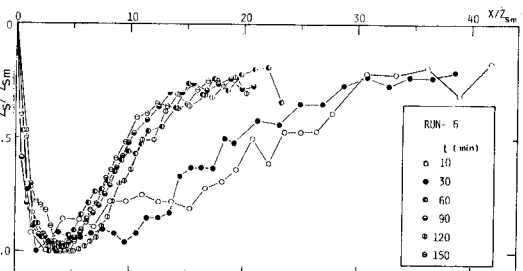


図3 洗掘形状の無次元表示

$$\frac{z_{sm}}{h_c} = \alpha (\sqrt{\frac{g}{h_c}} t)^{\frac{1}{3}} \quad \dots \dots (1)$$

の関係が認められる。ここに、 α は比例定数でここでは $\alpha \approx 0.043$ であるが、主に砂粒径の大きさによって変化すると考えられる。

3. 洗掘孔形状特性

図3は、最大洗掘深 z_{sm} で無次元化した洗掘孔形状の一例を示しているが、他の実験ケースでもほぼ同じ特性を示していた。すなわち、床固め下流端を起点とする流下方向距離である。この場合、 $t \approx 40$ 分に後期洗掘過程に移行したが、巨視的には、前述の埋め戻し過程ではあるが洗掘孔は時間的にいわゆる相似性を保っていることが認められる。すなわち、前期洗掘過程における洗掘形状は流下方向に卓越し、

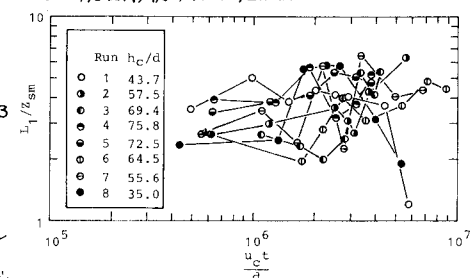


図4 最大洗掘深の水平位置の時間的変化

後期洗掘過程においては、潜り噴流によって鉛直方向の洗掘が卓越している。ただし、前後期過程を通して最大洗掘深 Z_{sm} の生じる位置 X は図-4からもわかるように、 Z_{sm} の $2\sim 6$ 倍程度で時間的にほぼ一定している。

4. 洗掘孔内の流れおよび流速分布

図-5は、各洗掘過程における流速分布の状況の一例を示したものである。また、図-6は図-5の各断面における最大流速で無次元化した流速分布である。これらの図から、前期洗掘過程においては、主流は床固め下流端で剝離し、下流（図の例では $X \approx 20\text{ cm}$ ）で再接觸するが水脈はほぼ水平に近い。また、床固めと再接觸点間の河床近くに弱い逆流域が形成される。最大流速は水面近くにあるが、再接觸点よりやや下流では河床近くの流速が比較的大きくなっている。後期洗掘過程の潜り噴流時には、主流水脈は洗掘孔河床に沿って流れおり河床に大きな掃流力を加えていることがわかる。潜り噴流により、主流水脈上にローラーが発生し、水面では逆流となる。ローラーの中心の高さはほぼ最大洗掘深の $1/2$ 程度となっており、ローラーとなる、といふ部分の流量は $X=15\text{ cm}$ の流速分布から推定すると $35\sim 40\text{ m}^3/\text{sec}$ となり、上流からの流量の約半分程度に達している。また、この主流水脈は洗掘孔内に砂堆を形成し、その頂部附近で剝離しそのやや下流で河床に再接觸している。砂堆で剝離するまでは、最大流速は河床に近いところにあることが認められる。一方、後期洗掘過程の埋め戻し時においては、主流水脈は再び水面附近に移り、洗掘孔底部にローラーができる、洗掘孔内的一部ではかなり強い逆流が生じている。図-7は、各断面の最大流速 U_{max} を限界水深 h_c で無次元表示したものである。各断面の最大流速は床固め直下流部で最大となり、 $X/h_c \approx 7\sim 9$ の位置で再び増加した後さらに減少しその後ほぼ一定となるようである。各洗

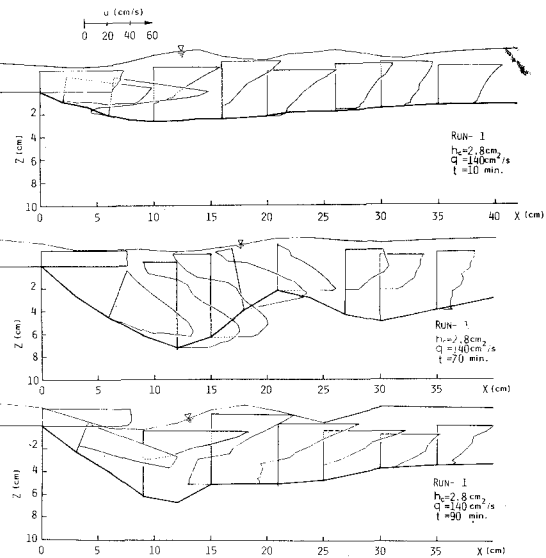


図-5 前期、潜り噴流、埋め戻し過程の流速分布

掘過程で河床形状あるいは流況が著しく異なるけれども、最大流速の流下方向分布特性にはあまり差異はないようである。

5. おわりに

以上のように、床固め下流部における局所洗掘現象について実験を行ない、洗掘孔内部の流況を明らかにすることともに洗掘形状等についての知見を得た。現在、これらの実験事実に基づき流れをモデル化し、非平衡状態の流砂則数を導入することによって解析的な考察を行なうことを試みており、次の機会に発表することにする。

(参考文献) (1) 有藤 隆: 土木学会論文報告集 1979.2

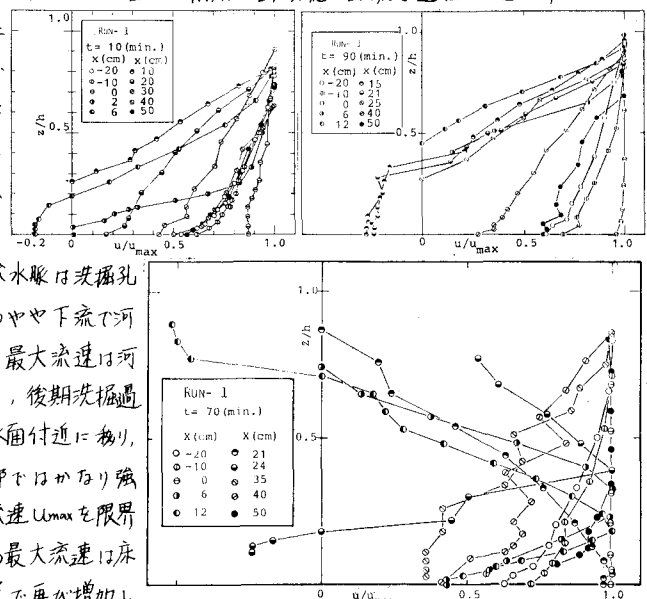


図-6 無次元流速分布

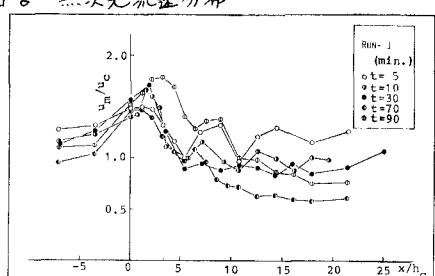


図-7 最大流速の場所的変化